

**Ю.А.СИРОТИН**, канд.тех.наук, доц., НТУ «ХПИ»

### ТОК, МОЩНОСТЬ И УРАВНЕНИЕ ПУЛЬСАЦИЙ В ТРЕХФАЗНОЙ СИСТЕМЕ

Для трифазної системи при несиметричній синусоїдальній напрузі в точці підключення несиметричного навантаження розглянуті два ортогональних розкладання повного трифазного струму. Отримано два рівняння потужності.

Для трехфазной системы при несимметричном синусоидальном напряжении в точке подключения несимметричной нагрузки рассмотрены два ортогональных разложения полного трехфазного тока. Получены два уравнения мощности.

For three-phase system with an asymmetric sinusoidal voltage at the point of connection asymmetrical loading two orthogonal decomposition of full three-phase current are considered. Two power equations are obtained.

В однофазной цепи передача энергии от источника с синусоидальным напряжением в линейную нагрузку происходит с переменной скоростью [1]. В трехфазной цепи это не так. Так, в симметричном режиме (нагрузка и напряжение симметричны) мгновенная мощность не имеет пульсирующей составляющей – режим *уравновешен* [1]. В реальной ситуации режим несимметричен (нагрузку и/или напряжение несимметричны), что приводит к появлению пульсаций мгновенной мощности (ММ).

В 3–проводной системе при *симметричном* напряжении и *несимметричной* нагрузке ток обратной последовательности определяет и *мощность пульсаций* (МП) и *мощность несимметрии* (МН) нагрузки. В этом режиме эти мощности равны. Это стало основанием предположить, что МП должна входить в уравнение мощности вместо МН (мощности *небаланса* в 3–проводной системе) и при *несимметричном* напряжении [2]. Как отмечено в [3] это предположение оказалось неправильным (однако соответствующее уравнение опубликовано в ряде монографий).

Действительно, если напряжение несимметрично, а нагрузка симметрична (для 3–проводной системы сбалансирована), то МН нагрузки равна нулю, однако пульсации наблюдаются [4,5]. При симметричном напряжении в 4–проводной цепи МН определена как ток обратной последовательности, так и ток нулевой последовательности, а пульсации – только ток обратной последовательности [6]. Таким образом, в различных режимах присутствие или отсутствие этих мощностей может быть не одновременным, а при их наличии они имеют разные значения. МП и МН

- различные характеристики энергетических процессов. Однако они связаны между собой.

Задача заключается в установлении этой связи в общей ситуации несимметрии нагрузки и несимметрии напряжения.

Уравнение мощности потерь – квадратичное разложение полной (кажущейся) мощности на мощность баланса и мощность энергетических процессов в цепи с точки зрения дополнительных потерь (на один Ом) [7, 8]. Однако, это уравнение мощности не определяет наличие или отсутствие пульсаций в цепи [6]. В работе показано, что пульсации обусловлены компонентой тока, которая полностью определяет МП. Эта компонента определена ортогональной проекцией вектора полного тока на *сопряженный* вектор комплексных действующих значений напряжений и названа *током пульсаций*. Ортогональное дополнение тока пульсаций до полного тока определяет *непульсирующий ток*. Ток пульсаций и неппульсирующий ток дают новое квадратичное разложение кажущейся мощности (*уравнение мощности пульсаций*). Это *уравнение* характеризует энергетические процессы с точки зрения скорости потока энергии в точке подключения нагрузки.

#### *Энергетические процессы в точке подключения нагрузки*

В точке подключения нагрузки потребителя к распределительной сети в трёхпроводном сечении  $\langle a, b, c \rangle$  трехфазной (трех/четырёхпроводной) системы с синусоидальными процессами мгновенные значения трехфазного напряжения и трехфазного тока

$$\mathbf{u}(t) = (u_a(t), u_b(t), u_c(t))^T = \sqrt{2} \Re e [ \mathbf{U} e^{j\omega t} ], \quad (1.a)$$

$$\mathbf{i}(t) = (i_a(t), i_b(t), i_c(t))^T = \sqrt{2} \Re e [ \mathbf{I} e^{j\omega t} ] \quad (1.b)$$

однозначно определены трехмерными комплексными векторами напряжения (3d-комплексами)  $\mathbf{U} = (\dot{U}_a, \dot{U}_b, \dot{U}_c)^T$  и тока  $\mathbf{I} = (\dot{I}_a, \dot{I}_b, \dot{I}_c)^T$  – векторами комплексных *действующих значений* (д.з.):

$$\mathbf{U} = \frac{\sqrt{2}}{T} \int_0^T \mathbf{u}(t) e^{-j\omega t} dt, \quad \mathbf{I} = \frac{\sqrt{2}}{T} \int_0^T \mathbf{i}(t) e^{-j\omega t} dt, \quad (2)$$

где  $\top$  – знак транспонирования,  $T$  – период ( $T\omega = 2\pi$ ).

При синусоидальных процессах мгновенную мощность

$$p(t) = u_a(t)i_b(t) + u_b(t)i_c(t) + u_c(t)i_a(t) \quad (3.a)$$

можно представить как

$$p(t) = \mathbf{u}(t)^\top \mathbf{i}(t) = \Re[\dot{S} + \dot{N}e^{j2\omega t}]. \quad (3.6)$$

Стандартная комплексная мощность (СКМ) равна комплексному скалярному произведению векторов напряжения и тока [4, 6]

$$\dot{S} = \mathbf{U}^\top \mathbf{I}^* = \dot{U}_a I_a^* + \dot{U}_b I_b^* + \dot{U}_c I_c^*, \quad (4.a)$$

$$\dot{S} = \mathbf{U}^\top \mathbf{I}^* = (\mathbf{U}, \mathbf{I}). \quad (4.б)$$

СКМ – комплексное число  $P + jQ$ , ее реальная часть равна средней (активной) мощности за интервал наблюдения  $[\tau, \tau + T]$

$$P = \Re \dot{S} = \Re(P + jQ) = \frac{1}{T} \int_{\tau}^{\tau+T} p(t) dt. \quad (5)$$

Мнимая часть СКМ  $\Im m \dot{S} = Q$  определяет реактивную мощность.

Комплексная амплитуда пульсирующей мощности (*мощность пульсаций*)

$$\dot{N} = |\dot{N}| e^{j \arg \dot{N}} = \dot{U}_a \dot{I}_a + \dot{U}_b \dot{I}_b + \dot{U}_c \dot{I}_c, \quad (6.a)$$

равна комплексному скалярному произведению вектора тока и комплексно сопряженного (КС) вектора напряжения  $\mathbf{U}^* = (U_a^*, U_b^*, U_c^*)^\top$  [4,6]

$$\dot{N} = \mathbf{I}^\top \mathbf{U} = (\mathbf{I}, \mathbf{U}^*). \quad (6.б)$$

Полная (*кажущаяся*) мощность определена произведением

$$S_B = \mathbf{U} \cdot \mathbf{I} = |\mathbf{U}| |\mathbf{I}| \quad (7)$$

д.з. напряжения и д.з. тока

$$|\mathbf{U}| = \sqrt{\mathbf{U}^\top \mathbf{U}^*} = \sqrt{|\dot{U}_a|^2 + |\dot{U}_b|^2 + |\dot{U}_c|^2}, \quad (8.a)$$

$$|\mathbf{I}| = \sqrt{\mathbf{I}^\top \mathbf{I}^*} = \sqrt{|\dot{I}_a|^2 + |\dot{I}_b|^2 + |\dot{I}_c|^2}. \quad (8.б)$$

Справедливо неравенство Шварца [9]

$$|(\mathbf{U}, \mathbf{I})| \leq |\mathbf{U}| |\mathbf{I}| \Rightarrow S_G \leq S_B \quad (8.в)$$

где  $S_G = |\dot{S}| = \sqrt{P^2 + Q^2}$  – геометрическая мощность, равная модулю СКМ.

### Несбалансированный режим, ток баланса и баланса

В (8.в) равенство достигается, только если вектор полного тока (*комплексно*) пропорционален вектору напряжения ( $\mathbf{I} \parallel \mathbf{U}$ )

$$\mathbf{I} = \dot{Y}_S \mathbf{U} \Leftrightarrow \frac{\dot{I}_a}{\dot{U}_a} = \frac{\dot{I}_b}{\dot{U}_b} = \frac{\dot{I}_c}{\dot{U}_c} = \dot{Y}_S = |\dot{Y}_S| e^{j\varphi_S}, \quad (9)$$

что определяет *сбалансированный режим* [8–9]. Если нагрузка симметрична, то режим сбалансирован. Однако обратное утверждение верно не для любой нагрузки. В 4–проводной цепи сбалансированность режима и симметричность нагрузки – эквивалентные понятия. В 3–проводной цепи режим может быть сбалансированным и при несимметричной нагрузке. Так, схема симметризации Штейнметца реализует *несимметричную  $\Delta$  нагрузку*, и при симметричном напряжении обеспечивает сбалансированный режим (даже с единичным коэффициентом мощности  $\lambda = P/S_B$ ) [5,7].

В сбалансированном режиме реактивная мощность характеризует фазовый сдвиг между векторами тока и напряжения. Геометрическая мощность равна полной мощности, что определяет сокращенное уравнение мощности и дает формулу для вычисления *коэффициента мощности  $\lambda$*  через фазовый сдвиг между векторами тока и напряжения ( $\dot{Y}_S = |\dot{Y}_S| e^{j\varphi_S}$ )

$$\mathbf{I} = \dot{Y}_S \mathbf{U} \Rightarrow S_G = S_B, \Rightarrow \underbrace{|\mathbf{I}| |\mathbf{U}|}_{S_B} = \underbrace{\sqrt{P^2 + Q^2}}_{S_G}, \quad (10.a)$$

$$\lambda = \frac{P}{S_B} = \frac{P}{\sqrt{P^2 + Q^2}} = \cos \varphi_S. \quad (10.б)$$

Если *режим несбалансирован*, то ортогональная проекция вектор тока на вектор напряжения определяет *ток баланса* [8–9]

$$\mathbf{I}_b = \frac{\mathbf{I}^\top \mathbf{U}^*}{|\mathbf{U}|^2} \mathbf{U} = \frac{(S^*/U^2) \mathbf{U}}{\dot{Y}_S} = \dot{Y}_S \mathbf{U}, \quad (11.a)$$

а *ток небаланса*

$$I_u = I - I_b \quad (11.6)$$

равен ортогональному дополнению вектора тока баланса до вектора тока. Справедливо ортогональное разложение полного тока

$$I = I_b + \underbrace{(I - I_b)}_{I_u} = I_b + I_u, \quad (11.в)$$

Ток баланса связан с СКМ и обладает однозначным энергетическим смыслом: «Среди всех токов, которые при заданном напряжении в нагрузку поставляют энергию с такой же комплексной мощностью, что и полный ток, ток баланса имеет *минимальное д.з.*».

Именно ортогональное разложение полного тока приводит (теорема Пифагора для компонент тока) к уравнению мощности потерь и изменяет формулу для коэффициента мощности

$$|I|^2 = |I_b|^2 + |I_u|^2 \Rightarrow S_B^2 = S_G^2 + D_u^2 \Rightarrow S_B^2 = P^2 + \underbrace{Q^2 + D_u^2}_{\text{дополнительные потери}}, \quad \lambda = \frac{P}{S_B} = \frac{P}{\sqrt{P^2 + Q^2 + D_u^2}}. \quad (12)$$

Где  $D_u = |U \times I| - \text{д.з.}$  вектора мощности небаланса [8,9]. Здесь и далее  $\times$  – знак операции векторного произведения.

### Уравновешенный режим и ток пульсаций

Из (6) следует, что если вектор тока ортогонален КС вектору фазных напряжений  $U^*$ , то пульсации отсутствуют (режим *уравновешен*). Понятия уравновешенности и сбалансированности не совпадают. Однако, если режим сбалансирован ( $I = \dot{Y}U$ ), а  $U$  и  $U^*$  ортогональны ( $U \perp U^*$ ), то **вектор тока** ортогонален  $U^*$  и пульсации отсутствуют  $\dot{N} = (I, U^*) = \dot{Y}(U, U^*) = 0$ . Так, если напряжение симметрично прямой последовательности  $U = \dot{U}e_1$ , то КС вектор напряжения является вектором обратной последовательности.

$$U = \dot{U}e_1 \Rightarrow U^* = (\dot{U}e_1)^* = U^* \underbrace{(e_1)^*}_{e_2} = U^* e_2$$

Поэтому 3d-комплексы  $U$  и  $U^*$  при симметричном напряжении также ортогональны и, если нагрузка симметрична, то пульсации отсутствуют (симметричный режим уравновешен).

Здесь и дальше

$$e_1 = \frac{1}{\sqrt{3}} \begin{pmatrix} 1 \\ \alpha^* \\ \alpha \end{pmatrix}, \quad e_2 = \frac{1}{\sqrt{3}} \begin{pmatrix} 1 \\ \alpha \\ \alpha^* \end{pmatrix} \quad (13)$$

- нормированные вектора (орты  $|e_1|=1, |e_2|=1$ ) прямой и обратной последовательности. ( $\alpha = e^{j2\pi/3}$ ) [6].

Если режим неуравновешен, то *ортогональная* проекция **вектора тока** на *комплексно сопряженный вектор напряжения* определяет 3d компоненту тока

$$I_p = \frac{(I, U^*)}{(U, U^*)} U^* = \frac{I^T U}{|U|^2} U^* = \frac{\dot{N}}{U^2} U^*, \quad (14.a)$$

которая названа *током пульсаций*.

*Непульсирующий ток* определяется как ортогональное дополнение тока пульсаций до полного тока

$$I_n = I - I_p. \quad (14.6)$$

Справедливо ортогональное разложение полного тока

$$I = I_p + \underbrace{(I - I_p)}_{I_n} = I_p + I_n \quad (14.в)$$

Так как  $I_p \parallel U^*$  и  $I_n \perp U^*$ , то МП полного тока обусловлена только током пульсаций

$$\dot{N} = (I, U^*) = (I_p + I_n, U^*) = (I_p, U^*) + \underbrace{(I_n, U^*)}_{=0} = I_p^T U, \quad (14.г)$$

Тем самым, *ток пульсаций имеет минимальное д.з. среди всех токов, которые при заданном напряжении имеют такую же мощность пульсаций, что и полный ток.* Конкретизируем полученные результаты для трехпроводной цепи.

### Энергетические процессы в трехпроводной цепи

В трехпроводной цепи напряжение можно измерять относительно искусственной точки заземления (Рис.1),

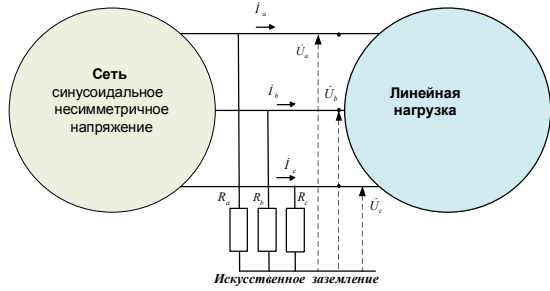


Рис.1 – Трехфазная трехпроводная система

что совместно с 1 законом Кирхгофа дает [9]

$$\mathbf{I}^\top \mathbf{e}_0 = (\dot{I}_a + \dot{I}_b + \dot{I}_c) / \sqrt{3} = 0; \quad (15.a)$$

$$\mathbf{U}^\top \mathbf{e}_0 = (\dot{U}_a + \dot{U}_b + \dot{U}_c) / \sqrt{3} = 0. \quad (15.б)$$

Здесь  $\mathbf{e}_0 = (1,1,1)^\top / \sqrt{3}$  - нормализованный вектор (орт) нулевой последовательности

Тем самым, энергетические синусоидальные процессы, происходящие в трехпроводном сечении  $\langle a,b,c \rangle$ -проводной цепи, характеризуются 3d-комплексами, которые ортогональны орту нулевой последовательности. Такие 3d-комплексы (комплексные вектора) образуют двумерное подпространство. Орты прямой и обратной последовательности (13) определяют базис этого подпространства [9]. Однако такой базис не единственен.

#### Ортонормированные базисы потерь и пульсаций

При несимметричном напряжении 3d-комплексы  $\mathbf{U}$  и  $\mathbf{U}^*$  не ортогональны. Однако 3d- комплекс межфазных напряжений

$$\mathbf{U}_\nabla = \sqrt{3}(\mathbf{U} \times \mathbf{e}_0) = \begin{bmatrix} \dot{U}_b - \dot{U}_c \\ \dot{U}_c - \dot{U}_a \\ \dot{U}_a - \dot{U}_b \end{bmatrix} \quad (16)$$

комплексно ортогонален КС 3d-комплексу напряжений  $\mathbf{U}^*$ , так как смешанное напряжение с двумя одинаковыми векторами равно нулю

$$(\mathbf{U}_\nabla, \mathbf{U}^*) = \mathbf{U}_\nabla^\top \mathbf{U}^* = \sqrt{3}(\mathbf{U} \times \mathbf{e}_0)^\top \mathbf{U}^* = 0.$$

Это позволяет определить два ортонормированных базиса: базис потерь и КС к нему базис пульсаций

$$\mathcal{B} = \{\mathbf{m}, \mathbf{m}_\nabla\}, \quad \mathcal{B}^* = \{\mathbf{m}^*, \mathbf{m}_\nabla^*\}. \quad (17)$$

Здесь орты 3d-комплексов:  $\mathbf{m} = \mathbf{U} / |\mathbf{U}|$  - фазных напряжений,

$\mathbf{m}_\nabla = \mathbf{m}^* \times \mathbf{e}_0$  - КС межфазных напряжений, и

$\mathbf{m}^* = \mathbf{U}^* / |\mathbf{U}^*|$  - КС фазных напряжений,

$\mathbf{m}_\nabla^* = \mathbf{m} \times \mathbf{e}_0$  - межфазных напряжений.

Раскладывая орты одного базиса по ортам другого базиса, можно показать, что орты базисов (17) связаны векторно-матричными уравнениями

$$\begin{bmatrix} \mathbf{m} \\ \mathbf{m}_\nabla \end{bmatrix} = \underbrace{\begin{bmatrix} \dot{\eta} & \dot{\mu} \\ \mu^* & \dot{\eta} \end{bmatrix}}_{\mathcal{A}} \begin{bmatrix} \mathbf{m}_\nabla^* \\ \mathbf{m}^* \end{bmatrix}, \quad \begin{bmatrix} \mathbf{m}_\nabla^* \\ \mathbf{m}^* \end{bmatrix} = \underbrace{\begin{bmatrix} \eta^* & \dot{\mu} \\ \mu^* & \eta^* \end{bmatrix}}_{\mathcal{A}^{-1}} \begin{bmatrix} \mathbf{m} \\ \mathbf{m}_\nabla \end{bmatrix}; \quad (18)$$

Матрицы преобразований  $\mathcal{A}$  и  $\mathcal{A}^{-1}$  ортогональны (даже унитарны так как  $\mathcal{A}^{-1} = (\mathcal{A}^\top)^* = (\mathcal{A}^*)^\top$ ).

Комплексные коэффициенты матриц  $\mathcal{A}$  и  $\mathcal{A}^{-1}$ :

$$\dot{\mu} = (\mathbf{m}, \mathbf{m}_\nabla^*) = \mathbf{m}^\top \mathbf{m}_\nabla^*, \quad \mu^* = \mathbf{m}_\nabla^\top \mathbf{m}^* = (\mathbf{m}^\top \mathbf{m})^*, \quad (19.a)$$

$$\dot{\eta} = \mathbf{m}_\nabla^\top \mathbf{m} = \mathbf{m}^\top \mathbf{m}_\nabla, \quad \eta^* = (\mathbf{m}_\nabla^\top \mathbf{m})^* = -\dot{\eta} \quad (19.б)$$

удовлетворяют условию  $|\dot{\mu}|^2 + |\dot{\eta}|^2 = 1$ .

Если напряжение симметрично  $\mathbf{U} = U_1 \mathbf{e}_1$ , то  $\dot{\mu} = 0$ ,  $\dot{\eta} = j$  и введенные нормированные вектора (17) с точностью до фазового множителя совпадают с ортами прямой и обратной последовательностей (13)

$$\mathbf{m} = \mathbf{e}_1, \quad \mathbf{m}_\nabla = j\mathbf{e}_2, \quad \mathbf{m}^* = (\mathbf{e}_1)^* = \mathbf{e}_2, \quad \mathbf{m}_\nabla^* = -j\mathbf{e}_1. \quad (20)$$

#### Ток баланса и небаланса

Разложение вектора тока

$$\mathbf{I} = \dot{I}_b \mathbf{m} + \dot{I}_u \mathbf{m}_\nabla = \mathbf{I}_b + \mathbf{I}_u \quad (21)$$

по введенному базису  $\mathcal{B} = \{\mathbf{m}, \mathbf{m}_\nabla\}$  определено ортогональными проекциями вектора тока на орты базиса (координатами  $\dot{I}_b, \dot{I}_u$ )

$$\dot{I}_b = \mathbf{I}^\top \mathbf{m}^* = S^*/U, \quad \dot{I}_u = \mathbf{I}^\top \mathbf{m}_\nabla^* = (\mathbf{I} \times \mathbf{U})^\top \mathbf{e}_\theta / U = \dot{D}_0 / U \quad (22.a)$$

Здесь  $\dot{D}_0 = (\mathbf{I} \times \mathbf{U})^\top \mathbf{e}_\theta = \mathbf{I}^\top (\mathbf{U} \times \mathbf{e}_\theta) = \mathbf{I}^\top \mathbf{U}_\nabla / \sqrt{3}$  алгебраическая проекция 3d-комплекса мощности небаланса  $\mathbf{D} = \mathbf{U} \times \mathbf{I}$  на орт  $\mathbf{e}_\theta$ .

$$\dot{D}_0 = \mathbf{D}^\top \mathbf{e}_\theta = \frac{1}{\sqrt{3}} [\dot{I}_a (\dot{U}_b - \dot{U}_c) + \dot{I}_b (\dot{U}_c - \dot{U}_a) + \dot{I}_c (\dot{U}_a - \dot{U}_b)]$$

Введенные компоненты вектор тока комплексно параллельны 3d-комплексам фазных ( $\mathbf{I}_b \parallel \mathbf{U}$ ) и КС межфазных ( $\mathbf{I}_u \parallel \mathbf{U}_\nabla^*$ ) напряжений:

$$\mathbf{I}_b = \dot{I}_b \mathbf{m} = \frac{\mathbf{I}^\top \mathbf{U}^*}{|\mathbf{U}|^2} \mathbf{U} = \frac{S^*}{U^2} \mathbf{U}, \quad (22.б)$$

$$\mathbf{I}_u = \dot{I}_u \mathbf{m}_\nabla = \frac{\dot{D}_0}{U^2} (\mathbf{U}^* \times \mathbf{e}_\theta) = \frac{\sqrt{3} \dot{D}_0}{|\mathbf{U}_\nabla|^2} \mathbf{U}_\nabla^* \quad (22.в)$$

Разложение (21) характеризуется парой комплексных мощностей ( $S^* = \dot{I}_b \cdot \mathbf{U}, \dot{D}_0 = \dot{I}_u \cdot \mathbf{U}$ ) и дает квадратичное разложение кажущейся мощности (*уравнение потерь*)

$$|\mathbf{I}|^2 = |\mathbf{I}_b|^2 + |\mathbf{I}_u|^2, \quad |\dot{I}|^2 = |\dot{I}_b|^2 + |\dot{I}_u|^2 \quad (23.a)$$

$$\Rightarrow S_b^2 = |S^*|^2 + |\dot{D}_0|^2 \quad (23.б)$$

#### **Пульсирующая и неппульсирующая компоненты тока**

Другое разложение полного тока дает комплексно сопряженный базис  $\mathcal{B}^* = \{\mathbf{m}_\nabla^*, \mathbf{m}^*\}$

$$\mathbf{I} = \dot{I}_p \mathbf{m}^* + \dot{I}_n \mathbf{m}_\nabla^* = \mathbf{I}_p + \mathbf{I}_n \quad (24)$$

В базисе  $\mathcal{B}^*$  ортогональные проекции вектора тока на орты базиса (координаты  $\dot{I}_p, \dot{I}_n$ ) определяют: комплекс  $\dot{N}$  пульсирующей мощности и комплекс  $\dot{K}$  неппульсирующей мощности

$$\dot{I}_p = (\mathbf{I}, \mathbf{m}^*) = \mathbf{I}^\top \mathbf{m} \quad \Rightarrow \quad \dot{N} = \dot{I}_p \cdot \mathbf{U}, \quad (25.a)$$

$$\dot{I}_n = (\mathbf{I}, \mathbf{m}_\nabla^*) = \mathbf{I}^\top \mathbf{m}_\nabla \quad \Rightarrow \quad \dot{K} = \dot{I}_n \cdot \mathbf{U}. \quad (25.б)$$

Взаимно ортогональные 3d-комплексы разложения (24) ( $\mathbf{I}_p \perp \mathbf{I}_n$ ) определяют мгновенные компоненты полного тока

$$\mathbf{I}_p = \dot{I}_p \mathbf{m}^* \quad \Rightarrow \quad \mathbf{i}_p = \mathbf{i}_p(t) = \sqrt{2} \Re e[\dot{I}_p e^{j\omega t}], \quad (26.a)$$

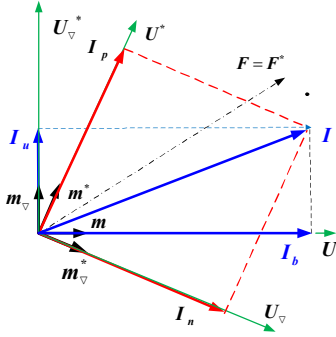
$$\mathbf{I}_n = \dot{I}_n \mathbf{m}_\nabla^* \quad \Rightarrow \quad \mathbf{i}_n = \mathbf{i}_n(t) = \sqrt{2} \Re e[\dot{I}_n e^{j\omega t}], \quad (26.б)$$

Так как компоненты разложения (24), ортогональны ( $\mathbf{I}_p \perp \mathbf{I}_n$ ), то для них справедлива теорема Пифагора. Это дает квадратичное разложение кажущейся мощности (*уравнение пульсаций*), которое не совпадает с (23.б)

$$|\mathbf{I}|^2 = |\mathbf{I}_p|^2 + |\mathbf{I}_n|^2, \quad |\dot{I}|^2 = |\dot{I}_p|^2 + |\dot{I}_n|^2 \quad (27.a)$$

$$S_b^2 = |\dot{N}|^2 + |\dot{K}|^2 \quad (27.a)$$

Таким образом, уравновешенный и сбалансированный режим – различные энергетические понятия, так как являются компонентами двух несовпадающих (при несимметричном напряжении) разложений (см. Рис.2.)



( $\{m, m_{\perp}\}$  - базис потерь;  $\{m^*, m^*_{\perp}\}$  - базис пульсаций)

Рис.2. Разложение 3d-комплекса полного тока в базисах

Однако введенные токи (мощности) разложения (24) связаны с токами (мощностями) баланса и небаланса (21). Установим эту связь.

### Связь токов и мощностей введенных разложений

Матрицы (18) связывают базисы (17), транспонированные к ним матрицы определяют координаты 3d-комплексов в одном базисе через координаты в другом базисе. Так, для координат тока справедливо

$$\begin{bmatrix} \dot{I}_b \\ \dot{I}_u \end{bmatrix} = \underbrace{\begin{bmatrix} \eta^* & \mu^* \\ \dot{\mu} & \eta^* \end{bmatrix}}_{A^*} \begin{bmatrix} \dot{I}_n \\ \dot{I}_p \end{bmatrix}, \quad \begin{bmatrix} \dot{I}_n \\ \dot{I}_p \end{bmatrix} = \underbrace{\begin{bmatrix} \dot{\eta} & \mu^* \\ \dot{\mu} & \dot{\eta} \end{bmatrix}}_{A^{\top}} \begin{bmatrix} \dot{I}_b \\ \dot{I}_u \end{bmatrix} \quad (28)$$

Умножая тождества (28) на д.з. 3-фазного напряжения  $U$  получим связь между мощностями двух уравнений мощности (23.б) и (27.б)

$$\begin{bmatrix} S^* \\ \dot{D}_0 \end{bmatrix} = \underbrace{\begin{bmatrix} \eta^* & \mu^* \\ \dot{\mu} & \eta^* \end{bmatrix}}_{A^*} \begin{bmatrix} \dot{K} \\ \dot{N} \end{bmatrix}, \quad \begin{bmatrix} \dot{K} \\ \dot{N} \end{bmatrix} = \underbrace{\begin{bmatrix} \dot{\eta} & \mu^* \\ \dot{\mu} & \dot{\eta} \end{bmatrix}}_{A^{\top}} \begin{bmatrix} S^* \\ \dot{D}_0 \end{bmatrix} \quad (29)$$

В явном виде имеем представление для токов и мощностей

$$\begin{cases} \dot{I}_b = \eta^* \dot{I}_n + \mu^* \dot{I}_p \\ \dot{I}_u = \eta^* \dot{I}_p + \dot{\mu} \dot{I}_n \end{cases} \Leftrightarrow \begin{cases} S^* = \eta^* \dot{K} + \mu^* \dot{N} \\ \dot{D}_0 = \eta^* \dot{N} + \dot{\mu} \dot{K} \end{cases} \quad (30.a)$$

$$\begin{cases} \dot{I}_n = \dot{\eta} \dot{I}_b + \dot{\mu} \dot{I}_u \\ \dot{I}_p = \dot{\mu} \dot{I}_b + \dot{\eta} \dot{I}_u \end{cases} \Leftrightarrow \begin{cases} \dot{K} = \dot{\eta} S^* + \dot{\mu} \dot{D}_0 \\ \dot{N} = \dot{\mu} S^* + \dot{\eta} \dot{D}_0 \end{cases} \quad (30.б)$$

Коэффициент  $\dot{\mu} = (m, m^*) = m^{\top} m = (U^{\top} U) / U^2$ , характеризует качество напряжения [4].

В частности, если напряжение симметрично, то  $\dot{\mu} = 0$ ,  $\dot{\eta} = j$  и:

- ток прямой последовательности равен току баланса и (с точностью до фазового множителя) совпадает с ненульсующим током  $\dot{I}_1 = \dot{I}_b = e^{-j\pi/2} \dot{I}_n$  (СКМ не вызывает пульсаций);
- ток обратной последовательности равен току пульсаций и (с точностью до фазового множителя) совпадает с током небаланса  $\dot{I}_2 = \dot{I}_p = e^{j\pi/2} \dot{I}_u$  (только несбалансированный ток вызывает пульсации);
- $\dot{N} = j\dot{D}_0$  и уравнения мощности (23) и (27) совпадают.

### Ток Fryze и уравнение мощности потерь

Ток баланса содержит две составляющие [6]: активный ток (ток Fryze) и реактивный ток

$$\dot{I}_b = \frac{S^*}{U^2} U = \frac{P - jQ}{U^2} U = \underbrace{\frac{P}{U^2} U}_{I_A} + \underbrace{\frac{Qe^{-j\pi/2}}{U^2} U}_{I_r} = I_A + I_r \quad (31)$$

вектор тока можно представить суммой двух составляющих: активного тока Fryze и неактивного тока Fryze

$$\dot{I} = \dot{I}_b + \dot{I}_u = \underbrace{\dot{I}_A + \dot{I}_r}_{I_b} + \dot{I}_u = \dot{I}_A + \underbrace{\dot{I}_r + \dot{I}_u}_{\text{неактивный ток Fryze}} = \dot{I}_A + \dot{I}_F \quad (32)$$

Среди всех токов, которые при заданном напряжении в нагрузку поставляют энергию с такой же активной мощностью, что и полный ток, активный ток Fryze имеет минимальное д.з.

Неактивный ток Fryze полностью определяет дополнительные потери (от реактивного и несбалансированного тока). Уравнение мощности определяет коэффициент мощности через активный и неактивный ток Fryze

$$\dot{I} = \dot{I}_A + \underbrace{\dot{I}_r + \dot{I}_u}_{I_F} \Rightarrow |\dot{I}|^2 = |\dot{I}_A|^2 + \underbrace{|\dot{I}_r|^2 + |\dot{I}_u|^2}_{\text{дополнительные потери}} \Rightarrow$$

$$\lambda = \frac{P}{S_B} = \frac{|\mathbf{I}_A|}{|\mathbf{I}_A + \mathbf{I}_F|} = \frac{I_A}{\sqrt{I_A^2 + I_F^2}}. \quad (33)$$

При *несимметричном* напряжении ( $\dot{\mu} \neq 0$ ) активный, реактивный ток и ток небаланса вызывают пульсации

$$\dot{N} = (\mathbf{I}_A + \mathbf{I}_r + \mathbf{I}_u)^\top \mathbf{U} = \dot{N}_A + \dot{N}_r + \dot{N}_u = \underbrace{\dot{\mu}P}_{\dot{N}_A} + \underbrace{\dot{\mu}Qe^{-j\pi/2}}_{\dot{N}_r} + \underbrace{\dot{\eta}D_0}_{\dot{N}_u}. \quad (34)$$

с комплексными амплитудами:  $\dot{N}_A, \dot{N}_r, \dot{N}_u$ .

При *симметричном* напряжении  $\dot{I}_p = e^{j\pi/2} \dot{I}_u$  и устранение дополнительных потерь (компенсация *неактивного* тока Fryze) приводит и к устранению пульсаций ММ ( $\lambda = 1 \Rightarrow \dot{N} = 0$ ). Обратное утверждение не верно, так как реактивный ток (компонента прямой последовательности при симметричном напряжении) не вызывает пульсаций

Из (21.б) и (20.а) следует, что при синусоидальных процессах мгновенную мощность можно представить как

$$p(t) = \mathbf{u}(t)^\top \mathbf{i}(t) = U[I_A + \Re(\dot{I}_p e^{j2\omega t})]$$

При *несимметричном* напряжении ( $\mu \neq 0$ ):

- оптимальное устранение дополнительных потерь ( $\lambda = 1$ ) приводит к тому, что полный ток становится равным активному току  $\mathbf{I} = \mathbf{I}_A$ , однако при этом пульсации полностью не устранены и обусловлены асимметрией напряжения ( $\dot{N} = \dot{N}_A = \dot{\mu}P \neq 0$ ) [5].
- устранение пульсаций мощности  $\dot{N} = 0$  ( $\mathbf{I} = \mathbf{I}_n$ ) не устраняет полностью ток небаланса, так как оставшийся неппульсирующий ток ( $\dot{I}_n \neq 0$ ) имеет в своем составе сбалансированный ток ( $\dot{I}_b = \eta^* \dot{I}_n$ ) и несбалансированный ток ( $\dot{I}_u = \mu \dot{I}_n$ ). Тем самым, после устранение пульсаций коэффициент мощности меньше единицы,  $\lambda \leq \eta < 1$ .

### Заключение

1. При *несимметричном* напряжении мощность небаланса и мощность пульсаций различные энергетические понятия. Мощность небаланса обусловлена током небаланса (который равен нулю и при симметричной нагрузке), а мощность пульсаций обусловлена током пульсаций (который отличен от нуля и при симметричной нагрузке). Ток

небаланса ортогонален току баланса и вектору напряжений. (Величина тока баланса характеризуется комплексной мощностью.) Вектор тока пульсаций коллинеарен комплексно сопряженному вектору напряжений.

2. При *несимметричном* напряжении вектор напряжений и КС вектор напряжений не ортогональны, поэтому ток пульсаций и ток баланса не ортогональны, а ток пульсаций не совпадает с током небаланса. Мощность небаланса и мощность пульсаций входят в различные уравнения мощностей, которые с разных сторон описывают энергетические процессы в трехфазной цепи.

3. При *несимметричном* напряжении рассмотренные два дуальных метода разложения полного тока дополняют друг друга и приводят к различным методам компенсации ненужных компонент тока. Каждый из этих методов оптимален только по одному критерию. Это приводит к необходимости постановки и решения двухкритериальной задачи компенсации, в рамках повышения качества поставляемой и потребляемой энергии.

**Список литературы:** 1. Зевеке Г.В. Основы теории цепей / Г.В. Зевеке, П.А. Ионкин. – М. - Л. : «Госэнергоиздат», 1955.–216 с. 2. Кузнецов В.Г. Схемы симметрирования однофазных нагрузок в трехфазных цепях / А.Н.Милях, А.К.Шидловский, В.Г. Кузнецов. – К.: Наукова думка, 1973. –218с. 3. Кузнецов В. Г. Повышение качества энергии в электрических сетях /А. К Шидловский., В. Г. Кузнецов. – К.: Наукова думка, 1985. – 266 с. 4. Сиротин Ю. А. Пульсации и осцилляции мощности при сбалансированной нагрузке / Ю. А Сиротин // Вісник НТУ «ХПИ». – 2011. – №3.–121-136, [Электронный ресурс]. – Режим доступа: [http://www.nbu.gov.ua/portal/natural/vcpi/Ente/2011\\_3/index.html](http://www.nbu.gov.ua/portal/natural/vcpi/Ente/2011_3/index.html). 5. Sirotin. Ju. A. Fryze's compensator and Fortescue transformation/ Ju. A. Sirotin // Przegląd Elektrotechniczny (Electrical Review). –2011.–vol. 1.–101-106. [Электронный ресурс]. – Режим доступа: [http://pe.org.pl/abstract\\_pl.php?nid=4568](http://pe.org.pl/abstract_pl.php?nid=4568). 6. Сиротин Ю. А. Мощность разбаланса и пульсации мгновенной мощности при симметричном напряжении / Ю. А. Сиротин // Электрика. – 2009. – № 11.– С. 15-21, [Электронный ресурс]. – Режим доступа: <http://www.nait.ru/journals>. 7. Сиротин Ю. А. Δ-симметризатор - компенсатор Фризе / Ю. А. Сиротин // Вісник НТУ «ХПИ», Сборник научных трудов. Тематический выпуск: Энергетика: надежность и энергоэффективность. - Харьков: НТУ «ХПИ». – 2010. – №. 45. – С. 145-157, [Электронный ресурс]. – Режим доступа: [http://www.nbu.gov.ua/portal/natural/vcpi/Ente/2010\\_1/index.html](http://www.nbu.gov.ua/portal/natural/vcpi/Ente/2010_1/index.html). 8. Сиротин Ю. А. Сбалансированная и разбалансированная составляющие тока в трехфазной несимметричной системе /Ю. А. Сиротин // Вісник ПДТУ.– 2008. – Вип. №18. – С. 81-87, [Электронный ресурс].– Режим доступа: [www.nbu.gov.ua/portal/Natural/VPDTU/2008\\_18\\_2/C2/](http://www.nbu.gov.ua/portal/Natural/VPDTU/2008_18_2/C2/) 9. Сиротин Ю. А. Анализ энергетических процессов в трехпроводной схеме / Ю. А. Сиротин // Вісник НТУ «ХПИ», Сборник научных трудов. Тематический выпуск: Энергетика: надежность и энергоэффективность. - Харьков: НТУ «ХПИ». – 2011. – №.41. – С. 118-133. [Электронный ресурс]. – Режим доступа: [www.nbu.gov.ua/portal/natural/vcpi/Ente/2011\\_41/index.html](http://www.nbu.gov.ua/portal/natural/vcpi/Ente/2011_41/index.html).

Поступила в редколлегию 15.04.2012